

## ساخت نانوکامپوزیت هیدروکسی آپاتیت مغناطیسی و بررسی ویژگی‌های ساختاری و مغناطیسی آن

منصوره درخشی<sup>۱\*</sup>، ناصر شاه طهماسبی<sup>۲،۱\*</sup>، هادی عربی<sup>۳،۱</sup>

۱- گروه فیزیک، دانشکده علوم، دانشگاه فردوسی مشهد، مشهد، ایران

۲- مرکز تحقیقات نانوفناوری دانشگاه فردوسی مشهد، مشهد، ایران

۳- آزمایشگاه انرژی‌های تجدید پذیر، مغناطیس و نانو تکنولوژی، گروه فیزیک، دانشکده علوم، دانشگاه فردوسی مشهد، مشهد، ایران

۴- هسته پژوهشی ذخیره‌سازی هیدروژن و باتری‌های یون-لیتیوم، دانشکده علوم، دانشگاه فردوسی مشهد، مشهد، ایران

(دریافت مقاله: ۹۶/۶/۲۹، نسخه نهایی: ۹۶/۸/۱۵)

**چکیده:** هیدروکسی آپاتیت  $(\text{Ca}_{10}(\text{PO}_4)_6(\text{OH})_2)$  با ساختار بلوری ششگوشی تنها فاز معدنی قابل شناسایی استخوان است. در این پژوهش نانوکامپوزیت فریت منیزیم- هیدروکسی آپاتیت به منظور کاربردهای پزشکی ساخته شد. نخست، نانومیله‌های هیدروکسی آپاتیت متخلخل به روش همرسوبی با قالب میسلی ساخته شدند. عامل فعال سطحی غیریونی پلارونیک P123 به عنوان قالب میسلی مورد استفاده قرار گرفت. سپس، نانوکامپوزیت فریت منیزیم- هیدروکسی آپاتیت با روش سونوشیمی ساخته شد. ساختار بلوری نانوپودرها به وسیله الگوی پراش پرتو ایکس تعیین گردید. همچنین ریخت‌شناسی نمونه‌ها توسط میکروسکوپ الکترونی عبوری بررسی شد. در تصاویر میکروسکوپ الکترونی عبوری نانوکامپوزیت، نانوذرات فریت منیزیم به شکل کره‌هایی با قطر تقریبی ۸ nm روی سطح نانومیله‌های هیدروکسی آپاتیت مشاهده شدند. حلقه‌های پسماند (H-M) نانوذرات فریت منیزیم و نانوکامپوزیت فریت منیزیم- هیدروکسی آپاتیت، در دمای اتفاق، به وسیله مغناطیس‌سنج با نمونه ارتعاشی اندازه‌گیری شدند. نتایج اندازه‌گیری‌ها بیانگر رفتار ابرپارامغناطیس نانوساختارهای تولید شده است.

**واژه‌های کلیدی:** هیدروکسی آپاتیت؛ فریت منیزیم؛ نانومیله؛ نانوکامپوزیت؛ ابرپارامغناطیس.

عمر داده‌ها در ذخیره‌سازی اطلاعات با چگالی بالا، فناوری شاره‌های فرومغناطیسی و سردسازی مغناطوگرمایی به طور گسترده مورد توجه قرار گرفته است [۷،۸].

در حال حاضر نانوکامپوزیت‌های مغناطیسی که دارای چندین ویژگی ترکیبی در یک نانوذره هستند، کارایی بیشتری دارند. نانوذرات ساخته شده یا به شکل کره‌های هسته- پوسته با هسته مغناطیسی [۹] یا به صورت نانوکامپوزیت [۱۰] هستند. هیدروکسی آپاتیت مغناطیسی یکی از انواع نانوکامپوزیت‌ها با ویژگی‌های ترکیبی هیدروکسی آپاتیت و مواد

**مقدمه**  
فریت منیزیم در صنعت و پزشکی کاربردهای فراوانی دارد. از جمله کاربردهای آن در ساخت دستگاه‌های ریزموچ [۱]، باتری‌های لیتیومی [۲]، گرمادرمانی [۳] و دارورسانی [۴] است و همچنین به عنوان حسگر گازی [۵،۶]، کاتالیزور، فوتوكاتالیزوری [۳] و رنگدانه [۱۱] بکار می‌رود. نانوذرات ابرپارامغناطیس فریت منیزیم بهدلیل ویژگی‌های منحصر بفرد مغناطیسی و ارتباط آن با فناوری‌های جدید از جمله تشدید مغناطیسی داروهای حاجب در تصویربرداری مغناطیسی، طول

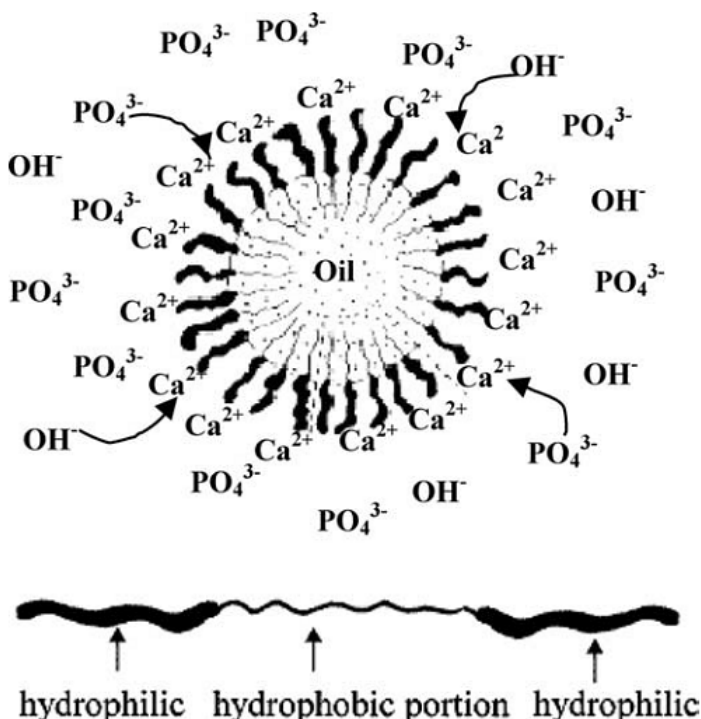
محدود مانند دمای اتاق را نیز فراهم می‌کند. انتشار امواج فرماصوت در محیط آبی حباب‌های بسیاری را تولید می‌کند که پیش از انفجار انرژی زیادی ذخیره می‌کنند. ترکیدن حباب‌ها امواج ضربه‌ای شدیدی را ایجاد می‌کند که سبب افزایش دما در فضایی کوچک شده و انرژی لازم برای انجام واکنش را تامین می‌کند. اما نمی‌توان از این روش برای ساخت ذرات با شکل و اندازه‌های یکنواخت استفاده کرد.

روش‌های شیمی‌تر، مثل قالب‌های میسلی برای کنترل رشد نانوبلورک‌ها و ریخت نانوذرات با توزیع اندازه یکنواخت مناسب هستند. در این روش درشت مولکول‌های مختلف به عنوان قالب موقتی نرم یا مراکز هسته‌زایی استفاده می‌شوند. برخی مواد فعال سطحی، مانند مولکول‌های دوگانه‌دost با یک سر آب‌گریز و یک سر آبدost، توانایی خودسامانی و تشکیل میسل‌ها (سلول‌های کوچک) را دارند. این مواد هنگامی که غلظت آنها از غلظت بحرانی میسل تجاوز کند، به واحدهای میسل تبدیل می‌شوند [۱۱]. در غلظت، دما و pH معین، میسل‌هایی با یک شکل خاص مشابه شکل ۱ تشکیل می‌شوند و به عنوان مراکز هسته‌زایی جهت تشکیل بلور هیدروکسی آپاتیت عمل می‌کنند.

مغناطیسی است.

هیدروکسی آپاتیت با ساختار بلوری ششگوشی ماده معدنی اصلی استخوان و دندان است. این ماده زیست‌سازگار، زیست‌فعال و غیر سمی توانایی برقراری پیوند شیمیایی مستقیم با سلول‌های بدن را دارد و به عنوان حامل مولکول‌های زیستی [۱۱] بسیار مورد توجه قرار گرفته است. علاوه بر آن هیدروکسی آپاتیت مغناطیسی کاربردهای متعددی در پزشکی از جمله داروسانی، گرمادرمانی موضعی سلطان استخوان و بیماری‌های مرتبط با آن [۱۲، ۱۰]، استخراج گزینه‌ای و جداسازی مغناطیسی پروتئین‌ها [۱۴، ۱۳] دارد. این ترکیب همچنین در فرآیندهای کاتالیزوری، فتوکاتالیزوری [۱۵] و حذف فلزات سنگین از پساب‌های صنعتی [۹] که اغلب حاوی مگنتیت [۱۵-۱۲] و فریت کبات [۱۸-۱۶] هستند بکار رود.

برای ساخت این نانوکامپوزیت‌ها روش‌های مختلفی از جمله همرسوبی [۱۵، ۱۴]، گرمابی [۱۹، ۹]، گرمایی [۲۰] و استفاده از قالب‌های پلیمری به شکل نانوالیاف [۱۲] بکار رفته است. نانوساختارها با کمک امواج فرماصوت [۱۰] نیز ساخته می‌شوند؛ در مقایسه با دیگر روش‌های شیمی‌تر، این روش ساده، سریع و کارآمد است و امکان انجام واکنش در شرایط



شکل ۱ طرح‌واره‌ای از رسوب هیدروکسی آپاتیت در میسل‌های آبی [۲۱].

هیدروکسید سدیم به ۱۲ رساندیم. سپس محلول سدیم دی هیدروژن فسفات دو آبه را به محلول اول اضافه کردیم. تمام مراحل ساخت درون حمام روغن و همراه با همزن مغناطیسی با دور ثابت انجام شد. در پایان این فرآیند، سوسپانسیون شیری رنگی بدست آمد. محلول به مدت ۲۴ ساعت در دمای  $80^{\circ}\text{C}$  تقطیر و به مدت ۲۴ ساعت در دمای اتاق رها شد تا عمل پیرشده‌گی انجام شود. رسوب توسط سانتریفیوژ جدا سازی و چندین بار با آب یون‌زدایی شده شست و شو داده شد تا یون‌های  $\text{Na}^+$  و  $\text{Cl}^-$  زدوده شوند. رسوب سفید رنگ بدست آمده را به مدت ۲۴ ساعت در آون با دمای  $100^{\circ}\text{C}$  خشک کرده و سپس با آهنگ  $3^{\circ}\text{C}/\text{min}$  به مدت ۶ ساعت در دمای  $600^{\circ}\text{C}$  کلسینه نمودیم.

#### تهیه نانوذرات فریت منیزیم

ابتدا مقدار ۳ گرم کلرید آهن ۶ آبه به همراه  $1/128$  گرم کلرید منیزیم ۶ آبه با نسبت مولی ۲:۱ در ۱۰۰ ml آب یون‌زدایی شده در دمای  $70^{\circ}\text{C}$  و در جو نیتروزن حل شدند. برای بدست آوردن محلول یکنواخت و همگن، این فراورده به مدت ۵ دقیقه زیر تابش امواج فراصوت با بسامد  $20\text{ kHz}$  و توان  $300\text{ W}$  قرار گرفت.  $30\text{ ml}$  محلول ۳ مولار سدیم هیدروکسید به وسیله قیف جداکننده به محلول حاوی نمک‌های فلزی اضافه شد تا محلول به ۱۲ برسد. سپس محلول به مدت ۱۵ دقیقه زیر تابش امواج فراصوت قرار گرفت. تمام مراحل بیان شده در حمام روغن با دمای  $70^{\circ}\text{C}$  انجام شد. برای جداسازی رسوب، محلول کلولئیدی بدست آمده در سانتریفیوژ با سرعت  $2000\text{ rpm}$  دور بر دقیقه به مدت ۱۵ دقیقه قرار داده شد. رسوب به دست آمده دو بار با اتانول و دوبار با آب یون‌زدایی شده شسته شد تا یون‌های اضافی  $\text{Na}^+$  و  $\text{Cl}^-$  زدوده شود. سپس این رسوب به مدت ۲۰ ساعت در آون با دمای  $80^{\circ}\text{C}$  خشک شد. پس از سایش، پودر بدست آمده را با آهنگ  $3^{\circ}\text{C}/\text{min}$  به مدت ۶ ساعت در دمای  $600^{\circ}\text{C}$  کلسینه نمودیم.

#### ساخت نانوکامپوزیت فریت منیزیم-هیدروکسی آپاتیت

برای ساخت نانوکامپوزیت فریت منیزیم-هیدروکسی آپاتیت، مشابه بخش پیش، از روش سونوشیمی و همان مواد اولیه شیمیابی به عنوان منابع آهن و منیزیم استفاده شد. همچنین از نمونه هیدروکسی آپاتیت خشک شده در بخش نخست کارهای تجربی استفاده کردیم. ابتدا نمک‌های آهن و منیزیم با نسبت مولی ۲ به ۱ به صورت پودر داخل بالون ریخته شدند و

در این پژوهش، با توجه به مطالب بیان شده، ترکیبی از روش‌های سونوشیمی و قالب میسلی برای ساخت نانوکامپوزیت فریت منیزیم-هیدروکسی آپاتیت استفاده شد. ابتدا نانومیله‌های هیدروکسی آپاتیت متخلخل به روش همرسوبی با قالب میسلی ساخته شدند. عامل فعال سطحی غیریونی پلارونیک P123 با ساختار پلیمری پلی اتیلن گلیکول-پلی-PPO<sub>۷</sub>-PEO<sub>۷</sub> (PEO<sub>۷</sub>) به عنوان قالب برای ساخت نانومیله‌های متخلخل بکار رفت. سپس نانوکامپوزیت فریت منیزیم-هیدروکسی آپاتیت با روش سونوشیمی تهیه شد. مزایای این روش سادگی، کوتاهی زمان واکنش و امکان بدست آوردن نانوذرات مغناطیسی است.

#### روش کار ساخت نمونه‌ها

کلرید کلسیم دو آبه ( $\text{CaCl}_2 \cdot 2\text{H}_2\text{O}$ ) (با خلوص ۹۹٪ از شرکت شارلو) و سدیم دی هیدروژن فسفات دو آبه ( $\text{NaH}_2\text{PO}_4 \cdot 2\text{H}_2\text{O}$ ) (با خلوص ۹۸٪ از شرکت BDH) به عنوان مواد اولیه و به ترتیب منبع کلسیم و فسفات استفاده شدند. عامل فعال سطحی غیریونی پلارونیک P123 به عنوان قالب میسلی با خلوص بالا از شرکت سیگما آلدريچ خریداری شد. کلرید آهن ۶ آبه ( $\text{FeCl}_3 \cdot 6\text{H}_2\text{O}$ ) (با خلوص ۹۹٪ از شرکت Merck) و کلرید منیزیم ۶ آبه ( $\text{MgCl}_2 \cdot 6\text{H}_2\text{O}$ ) (با خلوص ۹۷٪ از شرکت RECTAPUR) به ترتیب به عنوان منابع آهن و منیزیم بکار رفته‌اند. هیدروکسید سدیم ( $\text{NaOH}$ ) (با خلوص ۹۷٪ از شرکت فلوبا) برای کنترل pH و آب یون‌زدایی شده به عنوان حلal مورد استفاده قرار گرفت.

#### ساخت نانومیله‌های متخلخل هیدروکسی آپاتیت

در این پژوهش برای ساخت نانومیله‌های هیدروکسی آپاتیت از روش ترکیبی همرسوبی با قالب میسل استفاده شد. ابتدا مقدار معینی از عامل فعال سطحی میسل<sup>۱</sup> توسط همزن شده در دمایی بالاتر از دمای بحرانی میسل شفافی مغناطیسی با سرعت بالا همzده شد تا محلول میسلی شفافی بدست آید. سپس  $2906\text{ mg}$  کلرید کلسیم دو آبه به محلول اضافه شد. محلول فسفات به طور جداگانه با  $2377\text{ mg}$  گرم سدیم دی هیدروژن فسفات دو آبه در  $30\text{ ml}$  آب یون‌زدایی شده تهیه شد. pH محلول فسفات را با استفاده از محلول یک مولار

دانشگاه فردوسی مشهد مورد بررسی قرار گرفت. حلقه پسماند مغناطیسی M-H نمونه‌ها، در دمای اتاق، توسط دستگاه مغناطیس سنج با نمونه ارتعاشی<sup>۵</sup> (VSM) ساخت شرکت مغناطیس کویر کاشان واقع در مرکز رشد دانشگاه کاشان اندازه‌گیری شدند.

### نتایج و بحث

برای تایید ساختار بلوری و محاسبه تقریبی اندازه نانوبلورک‌ها، طیف پراش پرتو X نمونه‌های هیدروکسی آپاتیت سنتر شده پیش و پس از کلسینه شدن گرفته شد. شکل‌های ۲ الف و ب، الگوی پراش پرتو X نمونه‌ها را نشان می‌دهد. در هر دو طیف XRD، هیدروکسی آپاتیت به عنوان فاز اصلی است. پودرها کاملاً بلوری و مطابق با کارت استاندارد ۰۰۳۳-۲۴ دارای  $\text{Å}$ ،  $a = ۹,۴۳۲$   $\text{Å}$ ،  $b = ۶,۸۸۱$   $\text{Å}$  و  $c = ۵۳۰,۱۳۹$   $\text{Å}$  با گروه فضایی P6<sub>3</sub>/m است. با استفاده از موقعیت قله‌ها و نیم‌پهنه‌ای آنها می‌توان اندازه تقریبی نانوبلورک‌ها را به کمک رابطه شر (۱) بدست آورد:

$$D = k \lambda / \beta \cos\theta \quad (1)$$

در این رابطه،  $k$  ضریب شکل است که در اینجا  $۰,۹۴$  در نظر گرفته می‌شود.  $\lambda$  طول موج پرتو ایکس بکار رفته (در اینجا  $۰,۱۵۴$  nm)،  $\theta$  زاویه پراکنده‌گی و  $\beta$  پهنه‌ای قله در نصف ارتفاع بیشینه بر حسب رادیان است. با استفاده از این رابطه میانگین اندازه تقریبی نانوبلورک‌ها برپایه قله اصلی (۰۰۲) در پیش و پس از کلسینه شدن به ترتیب  $۵۵$  و  $۵۸$  نانومتر محاسبه شدند. طیف پراش پرتو ایکس نانوذرات فریت منیزیم پس از کلسینه شد در دمای C  $۶۰۰$  ° گرفته شد. الگوی پراش پرتو ایکس این نمونه در شکل ۲ پ آمده است. طیف پراش XRD، نمایانگر تشکیل فریت منیزیم به عنوان فاز اصلی است که قله‌های (۰۲۰)، (۳۱۱)، (۴۰۰)، (۴۲۲)، (۵۱۱)، (۴۴۰) و (۵۳۳)  $\text{Å}$  دارای ۷۳ دارای ساختار اسپینلی مکعبی FCC و گروه فضایی Fd/3m با ثابت شبکه  $a = ۸,۳۶۰$   $\text{Å}$  و حجم یاخته یکه  $۳$   $\text{Å}^3$  است [۲۲، ۱]. با استفاده از رابطه شر (۱)، میانگین اندازه نانوبلورک‌ها برای قله اصلی (۳۱۱) حدود ۳۷ نانومتر محاسبه شد.

بالون پس از قرار دادن درپوش و بستن کامل منفذها، در جو نیتروژن قرار داده شد. سپس ۳۰۰ ml آب یون‌زادی شده با دمای C  $۷۰$  ° به وسیله قیف جدا کننده اضافه گردید. محلول توسط همزن مغناطیسی به مدت ۲۰ دقیقه همزده شد. مقدار ۰,۲۰۷ گرم هیدروکسی آپاتیت به ۱۵۰ ml محلول ۰,۰۸ مولار هیدروکسید سدیم با دمای C  $۷۰$  ° اضافه شد. در این پژوهش، نسبت مولی کلسیم به آهن ۲/۷۵ است. به منظور پراکنده‌گی نانوذرات هیدروکسی آپاتیت، محلول به مدت ۵ دقیقه زیر تابش امواج فراصوت قرار گرفت. محلول کلؤئیدی بدست آمده توسط قیف جدا کننده به بشر در جو نیتروژن انتقال داده شد. سپس محلول حاوی نمک‌های فلزی به محلول شامل هیدروکسی آپاتیت اضافه گردید و به مدت ۳۰ دقیقه زیر تابش امواج فراصوت قرار گرفت. ادامه فرآیند مشابه مراحل ساخت فریت منیزیم انجام شد.

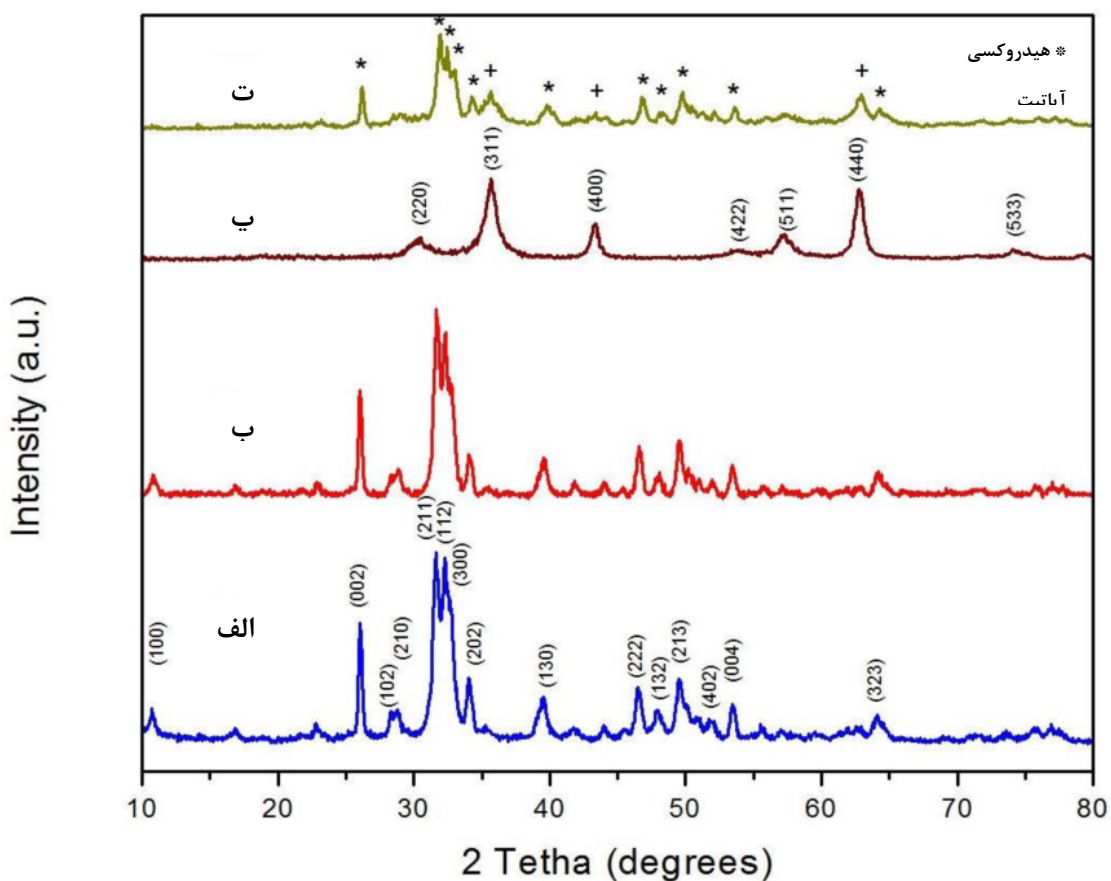
### روش‌های مشخصه‌یابی

برای تعیین ساختار بلوری و همچنین برآورد میانگین اندازه نانوبلورک‌ها از الگوی پراش پرتو ایکس<sup>۲</sup> (XRD) استفاده شد. الگوی پراش پرتوی ایکس نمونه‌های هیدروکسی آپاتیت با استفاده از دستگاه پراش سنج Advanced Bruker مدل D8 با هدف مس و پرتوی Cu K<sub>a</sub> به طول موج  $۱,۵۴۰$   $\text{Å}$ ، در آزمایشگاه حالت جامد دانشگاه علوم پایه دامغان، در گستره زاویه‌ای ۵ تا  $۸۰$  درجه و با آهنگ  $۰,۰۴$  درجه در ثانیه تهیه شد. همچنین الگوی پراش پرتو ایکس نمونه‌های فریت منیزیم و نانوکامپوزیت فریت منیزیم- هیدروکسی آپاتیت نیز با استفاده از دستگاه پراش سنج ساخت شرکت فیلیپس مدل X'Pert Pro با هدف مس و پرتوی Cu K<sub>a</sub> به طول موج  $۱,۵۴۰$   $\text{Å}$  در آزمایشگاه گروه مهندسی معدن دانشکده مهندسی دانشگاه کاشان، در گستره زاویه‌ای  $۱۰$  تا  $۸۰$  درجه و با آهنگ  $۰,۰۲$  درجه در ثانیه تهیه شدند. تصاویر میکروسکوپ الکترونی LEO<sup>۳</sup> (TEM) با استفاده از دستگاه میکروسکوپ عبوری AB912، با ولتاژ کار ۱۲۰ kV، در آزمایشگاه مرکزی دانشگاه فردوسی مشهد تهیه شد. طیف تبدیل فوریه مادون AVATAR<sup>۴</sup> (FTIR) نمونه‌های ساخته شده با دستگاه ۳۷۰ FT-IR در گستره  $4000\text{--}400\text{ cm}^{-1}$  در دانشکده علوم

2- X-Ray Diffraction

3- Transmission Electron Microscopy

4- Fourier Transform InfraRed

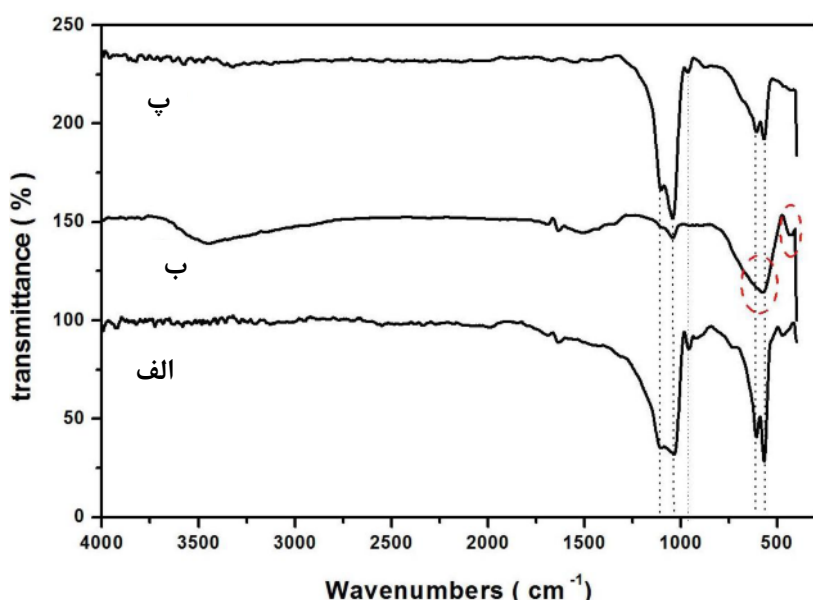


شکل ۲ الگوی XRD (الف) نانومیله‌های هیدروکسی آپاتیت پیش از کلسینه شدن، (ب) نانومیله‌های هیدروکسی آپاتیت پس از کلسینه شدن، (ت) نانوذرات فریت منیزیم و (ت) نانوکامپوزیت فریت منیزیم- هیدروکسی آپاتیت.

دیده می‌شود، نوارهای جذبی فسفات در  $1100$ ،  $1030$ ،  $960$  و  $604$   $\text{cm}^{-1}$  قرار دارند که وجود پیوندهای مربوط به هیدروکسی آپاتیت را در نانوکامپوزیت تایید می‌کنند [۲۴، ۲۳]. لذا با توجه به نتایج طیف‌سنجی FTIR و XRD، ساختار هیدروکسی آپاتیت با استفاده از تابش فراصوت طی فرآیند ساخت نانوکامپوزیت تغییر نمی‌کند.

طیف FTIR فریت منیزیم شامل دو نوار اصلی در گستره  $3750 - 600 \text{ cm}^{-1}$  است [۲۲]. نوار  $\nu_1$  در حدود  $575 \text{ cm}^{-1}$  و  $\nu_2$  در حدود  $425 \text{ cm}^{-1}$  از مشخصه‌های اصلی ساختار اسپینلی هستند. نوسان‌های یاخته یکه مکعبی می‌توانند در جایگاه‌های چاروجهی (A) و هشت وجهی (B) ایجاد شوند. نوارهای جذبی  $\nu_1$  و  $\nu_2$  به علت نوسان‌های کششی پیوند فلز- اکسیژن به ترتیب مربوط به جایگاه‌های چاروجهی و هشتوجهی هستند. تغییر موقعیت نوارها به دلیل تفاوت طول پیوند  $\text{O}^{2-} - \text{Fe}^{3+}$  در جایگاه‌های A و B است [۲۲، ۱].

شکل ۲ ت الگوی پراش پرتو ایکس نانوکامپوزیت فریت منیزیم- هیدروکسی آپاتیت را نشان می‌دهد. چنان که بیشتر بیان شد، برای تهیه نانوکامپوزیت از نمونه هیدروکسی آپاتیت خشک شده در بخش نخست کارهای تجربی استفاده شد. با توجه به شکل ۲ ت، قله‌ها با قله‌های اصلی در هر دو طیف XRD نانومیله‌های هیدروکسی آپاتیت و نانوذرات فریت منیزیم ساخته شده همخوانی دارند. در این شکل، قله‌های با شاخص‌های میلر  $(002)$ ،  $(112)$ ،  $(210)$ ،  $(300)$ ،  $(202)$ ،  $(130)$ ،  $(222)$ ،  $(152)$ ،  $(213)$ ،  $(402)$  و  $(004)$  مربوط به ساختار ششگوشی هیدروکسی آپاتیت و قله‌های  $(311)$ ،  $(440)$  و  $(533)$  نشان دهنده ساختار اسپینلی مکعبی FCC فریت منیزیم هستند. برای تایید تشکیل پیوندهای موجود در نانوکامپوزیت فریت منیزیم- هیدروکسی آپاتیت، نمونه کلسینه شده، بوسیله طیف‌سنج تبدیل فوریه مادون قرمز بررسی شد. شکل ۳، طیف FTIR نمونه‌های هیدروکسی آپاتیت، فریت منیزیم و نانوکامپوزیت ساخته شده را نشان می‌دهد. چنانکه در شکل



شکل ۳ طیف FTIR (الف) نانومیله‌های هیدروکسی آپاتیت پس از کلسینه‌شدن، (ب) نانوکامپوزیت فریت منیزیم- هیدروکسی آپاتیت. نانوذرات فریت منیزیم و (ت) نانوکامپوزیت فریت منیزیم- هیدروکسی آپاتیت.

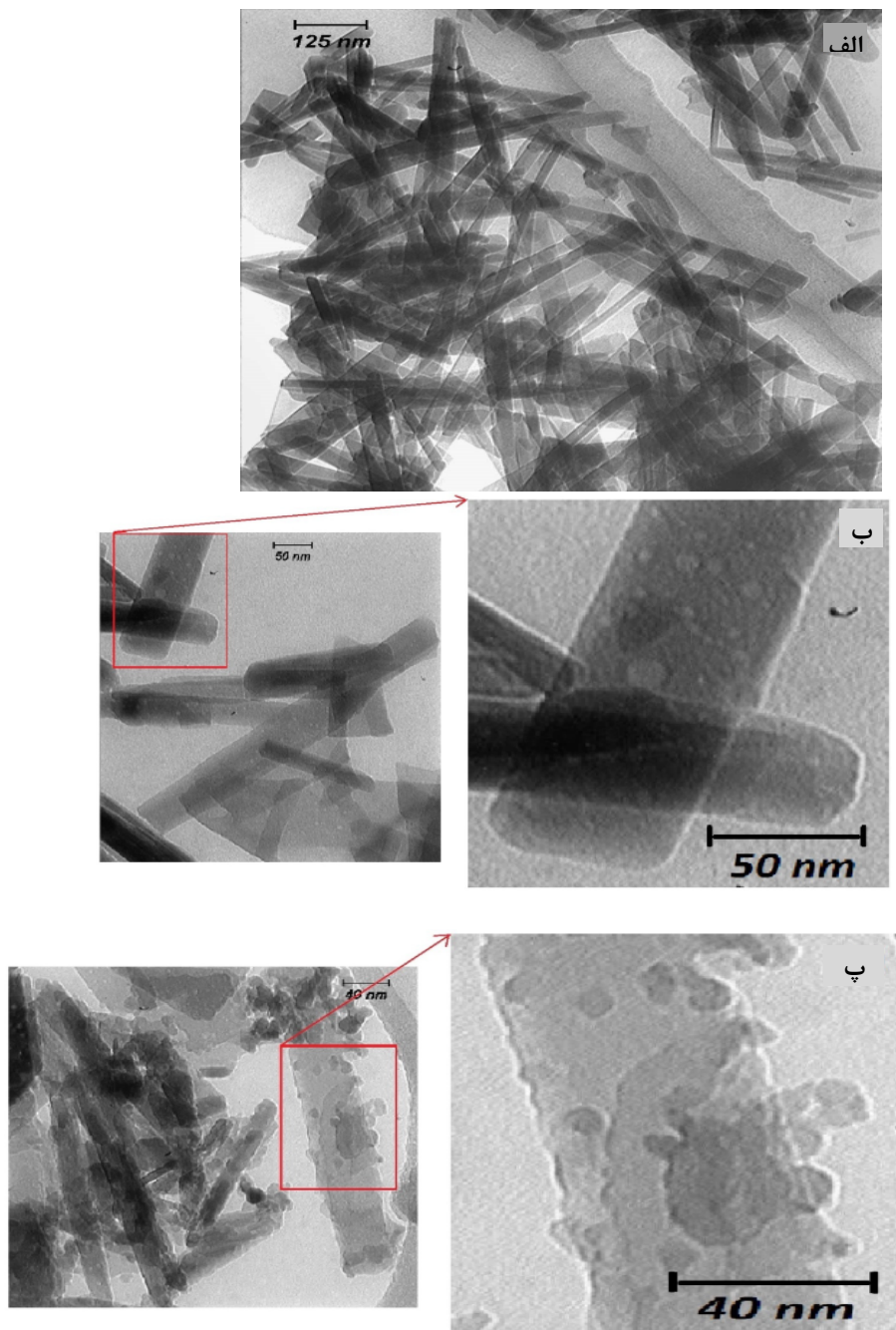
عامل رسوبدهنده اضافه شود که این امر سبب کوچکتر شدن اندازه نانوذرات فریت منیزیم در نانوکامپوزیت می‌شود. با توجه به تصاویر، به روشنی دیده می‌شود که برخی منافذ و سطح نانومیله‌های هیدروکسی آپاتیت توسط نانوذرات فریت منیزیم پوشانده شده است.

ویژگی‌های مغناطیسی نانوذرات فریت منیزیم و نانوکامپوزیت فریت منیزیم- هیدروکسی آپاتیت به وسیله مغناطیس‌سنج با نمونه ارتعاشی در دمای اتاق اندازه‌گیری شدند. شکل ۵ حلقه‌های پسماند (M-H) نمونه‌ها را نشان می‌دهد که مساحت بسیار ناچیز حلقه‌های پسماند بیان‌گر رفتار ابرپارامغناطیس‌گونه آنهاست [۲۵]. با توجه به شکل دیده می‌شود که مغناطش نمونه‌ها در بیشینه میدان اعمالی به حالت اشباع نمی‌رسد. لذا برای برآورد مغناطش اشباع،  $M_s$  نمودارهای مغناطش بر حسب عکس میدان در میدان‌های اعمالی بزرگ رسم شد (شکل ۶) و با برونویابی آن‌ها، مقدار مغناطش اشباع محاسبه شدند. با توجه به شکل ۶ مقدار مغناطش اشباع نانوذرات فریت منیزیم  $7.72 \text{ emu/g}$  است که در مقایسه با مقدار کپهای آن ( $33/4 \text{ emu/g}$ ) بسیار کوچک است [۴]. مقدار کم مغناطش اشباع نمونه مربوط به توزیع کاتیون‌ها در جایگاه‌های چاروجهی و هشتوجهی و نیز به دلیل اثر کجشده‌گی اسپین و بی‌نظمی در سطح نانوذرات است [۲۵, ۴, ۸]. همچنین مقدار مغناطش اشباع نانوکامپوزیت

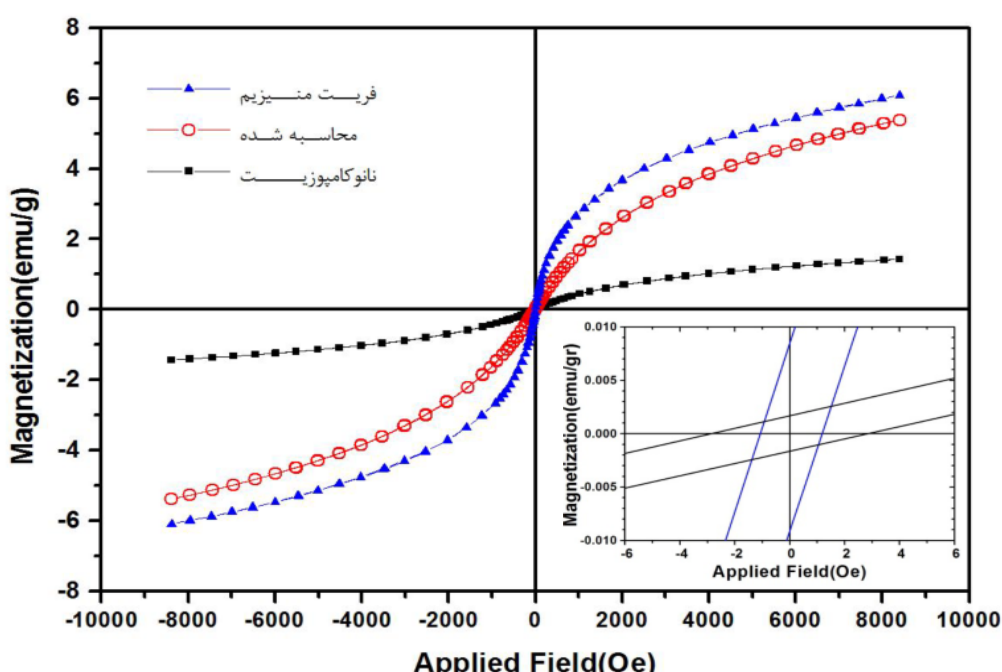
برای بررسی ریخت و اندازه نمونه‌های هیدروکسی آپاتیت و نانوکامپوزیت فریت منیزیم- هیدروکسی آپاتیت کلسینه شده از تصاویر TEM استفاده شد. شکل ۴ تصاویر TEM آن‌ها را نشان می‌دهد. شکل ۴ الف نمایانگر شکل میله‌ای ذرات هیدروکسی آپاتیت ساخته شده است، که حفره‌های موجود در این نانومیله‌ها نیز در شکل ۴ ب دیده می‌شوند. این حفره‌ها به دلیل استفاده از قالب میسلی بوجود آمده‌اند. قالب‌ها پس از کلسینه کردن حذف شده و سبب افزایش سطح ویژه در نانومیله‌ها می‌شوند. اندازه متوسط طول و قطر میله‌ها با استفاده از نرم افزارهای SPSS و Image Tool ترتیب ۴۲۸ و ۲۸ نانومتر به دست آمد. همچنین اندازه متوسط قطر منافذ میان‌تهی نانومیله‌های ساخته شده حدود ۸ نانومتر است. نانومیله‌های هیدروکسی آپاتیت و نانوذرات فریت منیزیم که تقریباً به شکل کره هستند، به وضوح در شکل ۴ پ دیده می‌شوند. اندازه متوسط نانوذرات فریت منیزیم در نانوکامپوزیت نیز با استفاده از نرم افزارهای نامبرده حدود ۸ نانومتر محاسبه شد. اندازه نانوذرات فریت منیزیم در نانوکامپوزیت در مقایسه با اندازه تقریبی نانوبلورک‌های فریت منیزیم (۳۷ نانومتر) کوچکتر است. این تغییر اندازه مربوط به ترتیب افروden عامل رسوبدهنده به محلول‌های نمک فلزی در ساخت نانوکامپوزیت است. شرایط ساخت نانوکامپوزیت فریت منیزیم- هیدروکسی آپاتیت ایجاب می‌کرد که محلول نمک‌های فلزی به

نانوکامپوزیت نسبت به نانوذرات فریت منیزیم خالص به شدت کاهش یافته است، در صورتی که میدان واحد زندگی،  $H_C$ ، میدان مغناطیسی لازم برای چرخش جهت مغناطش در ماده چنان که در تصویر داخلی شکل ۵ دیده می‌شود، در نانوکامپوزیت افزایش یافته است. مشخصه‌های مغناطیسی نانوساختارها ارائه شده است (جدول ۱).

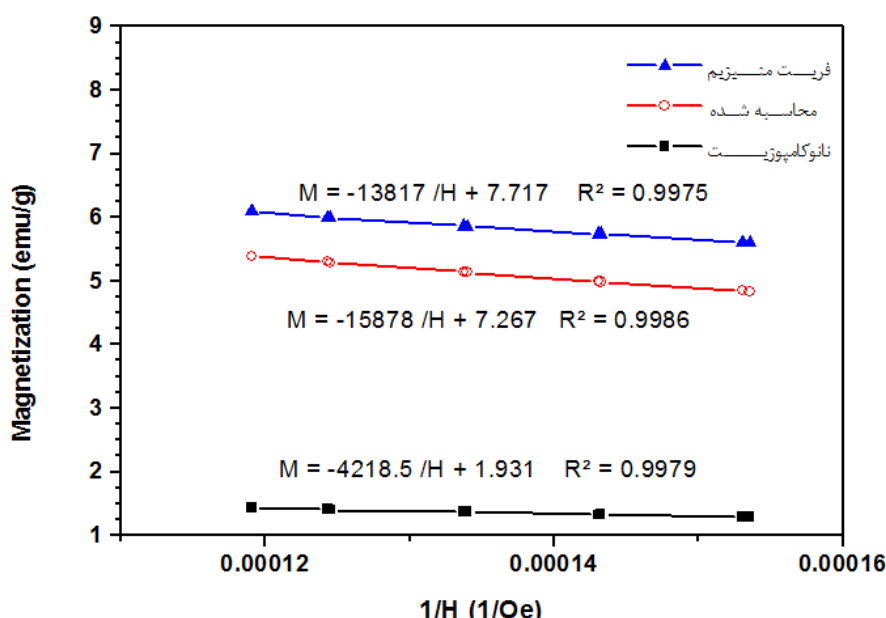
۱/۹۳ emu/g به دست آمد که در مقایسه با مقدار مغناطش اشباع نانوذرات فریت منیزیم سنتز شده (۷/۷۲ emu/g) کاهش یافته است. گپی و همکاران [۱۰] نیز برای نانولوله‌های مگنتیت/هیدروکسی آپاتیت، به نتایج مشابهی رسیدند. برای بررسی اثر فریت منیزیم بر نانوکامپوزیت، فرض شد که تمام جرم این نانوکامپوزیت از فریت منیزیم باشد. چنانکه در شکل‌های ۵ و ۶ دیده می‌شود، مقدار مغناطش اشباع در



شکل ۴ تصاویر TEM (الف) و (ب) نانومیله‌های هیدروکسی آپاتیت و (پ) نانوکامپوزیت فریت منیزیم-هیدروکسی آپاتیت.



شکل ۵ منحنی پسماند نانوذرات فریت منیزیم، نانوکامپوزیت فریت منیزیم-هیدروکسی آپاتیت و نمودار (محاسبه شده) نانوکامپوزیت که تمام جرم آن از فریت منیزیم فرض شود در دمای اتفاق. شکل داخل، رفتار مغناطیسی ماده را در میدان‌های اعمالی کوچک نشان می‌دهد.



شکل ۶ نمودار مغناطش نسبت به عکس میدان در میدان‌های اعمالی بزرگ برای نانوذرات فریت منیزیم، نانوکامپوزیت فریت منیزیم-هیدروکسی آپاتیت و نانوکامپوزیت که تمام جرم آن از فریت منیزیم فرض شود.

جدول ۱ مشخصه‌های مغناطیسی نانوساختارهای تهیه شده.

نمونه‌ها	میدان واحدندگی $H_C$ (Oe)	مغناطش اشباع $M_S$ (emu/g)	مغناطش مانده $M_r$ (emu/g)
نانوذرات فریت منیزیم	۱,۲۰	۷,۷۲	۰,۱۰۱۵
نانوکامپوزیت فریت منیزیم-هیدروکسی آپاتیت	۳	۱,۹۳	۰,۱۰۰۲
نانوکامپوزیت با فرض تمام جرم از فریت منیزیم	-	۷,۲۷	-

## برداشت

نانومیله‌های هیدروکسی آپاتیت به روش همروسی و با قالب میسلی تهیه شدند. با توجه به تصاویر TEM، نانومیله‌ها، متخلخل و میانگین قطر آن‌ها حدود ۲۸ nm است. با توجه به الگوی پراش XRD، نانوکامپوزیت فریت منیزیم- هیدروکسی آپاتیت که با روش سونوژیمی سنتز شد، شامل دوفاز اصلی فریت منیزیم و هیدروکسی آپاتیت است. همه‌ی نمونه‌های سنتز شده بدون فاز ناخالصی و دارای ساختار بلوری هستند. مقدار مغناطش اشباع نانوکامپوزیت نسبت به نانوذرات فریت منیزیم خالص کاهش و اندازه میدان وادارنگی نانوکامپوزیت نسبت به نانوذرات فریت منیزیم افزایش یافته است که دلایل این کاهش و افزایش در بحث نتایج مغناطیسی بیان شده‌اند. در تصاویر TEM اندازه نانوذرات فریت منیزیم کمتر از مقدار بحرانی آن است. لذا با توجه به شکل حلقه‌های پسماند، در دمای اتاق، نمونه‌ها دارای رفتار ابرپارامغناطیس گونه هستند.

هیدروکسی آپاتیت و فریت منیزیم جزء مواد معدنی زیست سازگار هستند، لذا در بدن سمیت و التهاب ایجاد نمی‌کنند. از نتایج بدست آمده در این پژوهش می‌توان در کاربردهای زیستی، پزشکی و داروسانی استفاده کرد. نانومیله‌های هیدروکسی آپاتیت ساخته شده با توجه به اینکه متخلخل هستند، قابلیت بارگذاری داروی بیشتری را دارند و همچنین برای مهندسی بافت استخوان نیز مفید هستند. نانوکامپوزیت تولید شده نیز به دلیل رفتار ابرپارامغناطیس گونه می‌تواند کارایی مطلوبی در سیستم داروسانی هدفمند و گرمادرمانی داشته باشد.

## مراجع

- [1] Köferstein R., Walther T., Hesse D., Ebbinghaus S.G., "reparation and characterization of nanosized magnesium ferrite powders by a starch-gel process and corresponding ceramics", Mater. Sci. 48 (2013) 6509-6518.
- [2] Liu H., Liu H., "Synthesis of nanosize quasispherical  $MgFe_2O_4$  and study of electrochemical properties as the anode of lithium-ion batteries", J. Electron. Mater. 43 (2014) 2553-2558.
- [3] Su N.R., Lv N.R., Li M., Zhang X., Li M., Niu J., "Fabrication of  $MgFe_2O_4-ZnO$  heterojunction photocatalysts for application of organic pollutants", Mater. Lett. 122 (2014) 201-204.
- [4] Gherca D., Pui D., Nica V., Caltun O., Cornei N., "Eco-environmental synthesis and characterization of nanophasic powders of Co, Mg,

کاهش در مغناطش نانوکامپوزیت، در یک میدان ثابت، در اصل به علت مقدار کمتر ماده مغناطیسی در نمونه نانوکامپوزیت است. علاوه بر این، مقدار مغناطش اشباع به دست آمده از نمودار نانوکامپوزیت که تمام جرم آن از فریت منیزیم فرض شده است، نیز در مقایسه با نانوذرات خالص فریت منیزیم کمتر است. نفوذ نانوذرات مغناطیسی در منافذ نانومیله‌ای متخلخل هیدروکسی آپاتیت، جفت‌شده‌گی مغناطیسی اسپین‌ها در سطح مشترک نانوذرات مغناطیسی  $MgFe_2O_4$  و  $H_C$  بستر غیرمغناطیسی هیدروکسی آپاتیت را کاهش می‌دهد. ماده غیرمغناطیسی می‌تواند یک لایه مرده بر سطح نانوذرات ایجاد کرده و به این ترتیب بر بزرگی مغناطش اشباع اثر کند. این کاهش توسط حذف گشتاورهای مغناطیسی سطح، که در ناهمسانگردی سطح سهم دارند، صورت می‌گیرد [۱۰، ۱۲، ۱۷]. افزایش میدان وادارنگی،  $H_C$ ، مربوط به نفوذ ذرات مغناطیسی در نانومیله‌های هیدروکسی آپاتیت است. میدان وادارنگی نانوکامپوزیت، ناشی از ناهمسانگردی ذاتی ذرات است، که توسط میدان‌های دوقطبی درون ذرات فریت منیزیم در نانوکامپوزیت افزایش می‌یابد. این افزایش مربوط به برهمکنش‌های بین ذرات در سطح مشترک ذرات مغناطیسی و نانومیله‌های متخلخل هیدروکسی آپاتیت است. به عبارت دیگر به علت وجود موانع قوی، چرخش اسپین‌ها در سطح نانوذرات فریت منیزیم محصور در نانوکامپوزیت سخت‌تر شده و منجر به افزایش  $H_C$  می‌شود (براساس رابطه سد انرژی  $E_A = KV\sin^2\theta$  [۱۷]، که  $K$  ناهمسانگردی ماده،  $V$  حجم ذرات و  $\theta$  زاویه بین راستای ممان مغناطیسی و محور آسان می‌باشند). در بسیاری از نانوذرات مغناطیسی، وادارنگی وابسته به ترکیبی از سازوکارهای ناهمسانگردی از جمله ناهمسانگردی مغناطوبلوری، ناهمسانگردی سطحی و برهمکنش‌های درونی ذرات است. برای نانوذرات مغناطیسی در نانوکامپوزیت، به احتمال زیاد سهم ناهمسانگردی مغناطیسی سطحی و برهمکنش‌های داخلی به تعادل رسیده است و منجر به ناهمسانگردی خالص K می‌شود. ویژگی‌های مشاهده شده برای نانوکامپوزیت، احتمالاً مربوط به ناهمسانگردی سطحی است. پوآن و همکاران [۱۷] برای نانوکامپوزیت‌های فریت کبالت با پوشش‌های متخلخل سیلیکا و هیدروکسی آپاتیت و گپی و همکاران [۱۰] برای نانولوله‌های مگنتیت/ هیدروکسی آپاتیت نیز نتایج مشابهی را گزارش کرده‌اند.

- [15] Liu Y., Zhong H., Li L., Zhang C., "Temperature dependence of magnetic property and photocatalytic activity of  $Fe_3O_4$ /hydroxyapatite nanoparticles", Mater. Res. Bull. 45 (2010) 2036-2039.
- [16] Petchsang N., Pon-On W., Hodak J., Tang I., "Magnetic properties of Co-ferrite-doped hydroxyapatite nanoparticles having a core/shell structure", J. Magn. Magn. Mater. 321 (2009) 1990-1995.
- [17] Pon-On W., Charoenphandhu N., Tang I.-M., Jongwattanapisan P., Krishnamra N., Hoonsawat R., "Encapsulation of magnetic  $CoFe_2O_4$  in  $SiO_2$  nanocomposites using hydroxyapatite as templates: A drug delivery system", Materials Chemistry, and Physics, 131 (2011) 485-494.
- [18] Foroughi F., Hassanzadeh-Tabrizi S., Amighian J., Saffer-Teluri A., "A designed magnetic  $CoFe_2O_4$ -hydroxyapatite core-shell nanocomposite for Zn (II) removal with high efficiency", Ceram. Int. 41 (2015) 6844-6850.
- [19] Yao S., Yan X., Zhao Y., Li B., Sun L., "Selective binding and magnetic separation of histidine-tagged proteins using  $Ni^{2+}$ -decorated  $Fe_3O_4$ /hydroxyapatite composite nanoparticles", Mater. Lett. 126 (2014) 97-100.
- [20] Wakiya N., Yamasaki M., Adachi T., Inukai A., Sakamoto N., Fu D., Sakurai O., Shinozaki K., Suzuki H., "Preparation of hydroxyapatite-ferrite composite particles by ultrasonic spray pyrolysis", Mater. Sci. Eng., B. 173 (2010) 195-198.
- [21] Zhao Y., Ma J., "Triblock co-polymer templating synthesis of mesostructured hydroxyapatite", Microporous and Mesoporous Materials, 87 (2005) 110-117.
- [22] Chandradass J., Jadhav A.H., Kim K.H., Kim H., "Influence of processing methodology on the structural and magnetic behavior of  $MgFe_2O_4$  nanopowders", J. Alloys Compd. 517 (2012) 164-169.
- [23] Salimi E., Javadpour J., Anbia M., "Template-based synthesis of nanoporous hydroxyapatite", ISRN Ceramics, 2012 (2012).
- [24] Saeri M. R., Nilforoshan M., "Crystallography and morphological study of synthesized hydroxyapatite nano-particles", ijcm 1 (2006) 55-64.
- [25] Arabi H., Moghadam N.K., "Nanostructure and magnetic properties of magnesium ferrite thin films deposited on glass substrate by spray pyrolysis", J. Magn. Magn. Mater. 335 (2013) 144-148.
- Mn and Ni ferrites", Ceram. Int. 40 (2014) 9599-9607.*
- [5] Hankare P., Jadhav S., Sankpal U., Patil R., Sasikala R., Mulla I., "Gas sensing properties of magnesium ferrite prepared by co-precipitation method", J. Alloys Compd. 488 (2009) 270-272.
- [6] Gadkari A.B., Shinde T.J., Vasambekar P.N., "Nanocrystallite Mg ferrite LPG,  $Cl_2$  and  $C_2H_5OH$  sensor", in SOLID STATE PHYSICS: PROCEEDINGS OF THE 56TH DAE SOLID STATE PHYSICS SYMPOSIUM 2011, AIP Publishing, 2012, pp. 415-416.
- [7] Mongia N., Srivastava A., Bansal D., Giri P., Goswami D., Perumal A., Chattopadhyay A., "Effect of pH on Magnetic and Structural Properties of Low Temperature Synthesized  $MgFe_2O_4$  Nanoparticles, in AIP Conference Proceedings", 2010, pp. 394.
- [8] Naseri M.G., Ara M.H.M., Saion E.B., Shaari A.H., "Superparamagnetic magnesium ferrite nanoparticles fabricated by a simple thermal treatment method", J. Magn. Magn. Mater. 350 (2014) 141-147.
- [9] Yang H., Masse S., Zhang H., Hélary C., Li L., Coradin T., "Surface reactivity of hydroxyapatite nanocoatings deposited on iron oxide magnetic spheres toward toxic metals", J. Colloid Interface Sci. 417 (2014) 1-8.
- [10] Gopi D., Ansari M.T., Shinyjoy M.T., Kavitha L., "Synthesis and spectroscopic characterization of magnetic hydroxyapatite nanocomposite using ultrasonic irradiation", Spectrochimica Acta Part A: Molecular and Biomolecular Spectroscopy, 87 (2012) 245-250.
- [11] Ye F., Guo H., Zhang H., He X., "Polymeric micelle-templated synthesis of hydroxyapatite hollow nanoparticles for a drug delivery system", Acta Biomaterialia. 6 (2010) 2212-2218.
- [12] Singh R.K., El-Fiqi A.M., Patel K.D., Kim H.W., "A novel preparation of magnetic hydroxyapatite nanotubes", Mater. Lett. 75 (2012) 130-133.
- [13] Li P., Li L., Zhao Y., Sun L., Zhang Y., "Selective binding and magnetic separation of histidine-tagged proteins using  $Fe_3O_4/Cu$ -apatite nanoparticles", J. Inorg. Biochem. 156 (2016) 49-54.
- [14] Shan Z., Li X., Gao Y., Wang X., Li C., Wu Q., "Application of magnetic hydroxyapatite nanoparticles for solid phase extraction of plasmid DNA", Anal. Biochem. 425 (2012) 125-127.